

05

© 1991 г.

## РАСПРЕДЕЛЕНИЕ ДИСЛОКАЦИЙ НЕСООТВЕТСТВИЯ ПРИ ЧАСТИЧНОЙ РЕЛАКСАЦИИ НАПРЯЖЕНИЙ В ГЕТЕРОЭПИТАКСИАЛЬНОЙ СИСТЕМЕ

*A. A. Жигалко*

Рассмотрены теоретические условия инжекции дислокаций несоответствия и их распределение при частичной пластической релаксации напряжений в гетероэпитаксиальной системе с большими барьерами Пайерлса, когда источником дислокаций является край эпитаксиального слоя, а граница раздела их плоскостью скольжения. Пластическую релаксацию затрудняют три фактора: силы изображения,держивающие дислокацию у края, низкая подвижность дислокаций в решетке с большими барьерами Пайерлса и стартовое напряжение ( $\tau_0$ ). Фронт пластической релаксации медленно с монотонно убывающей скоростью движется к середине слоя и при  $\tau_0 \neq 0$  останавливается на некотором удалении от края. На ряде примеров рассматривается возможность получения частично бездислокационной границы раздела при толщине слоя, многократно превышающей критическую.

### Введение

В тех случаях, когда дислокации несоответствия (ДН) нежелательны, толщину  $w$  эпитаксиального слоя напряженной гетероэпитаксиальной системы (далее для краткости системы) приходится ограничивать некоторым значением  $w_c$ , ниже которого образование ДН энергетически невыгодно [1]. Для получения напряженных слоев с  $w > w_c$  нужны технологии, при которых бы источники ДН не возникали, либо оказывались запертными, либо работали достаточно медленно. В работе [2] рассматривалась возможность замедления пластической релаксации напряжений в полупроводниковой системе за счет снижения температуры выращивания слоя в случае, когда источниками ДН являются дислокации, проросшие из подложки в слой (модель Мэтьюза [1, 3, 4]). В настоящей работе с учетом достигнутого технологиями уровня [5] подобное рассмотрение проведено для изначально бездислокационной системы с атомногладкой границей раздела, совпадающей с плоскостью скольжения ДН. Единственным источником ДН в этом случае может служить край слоя, являющийся концентратором напряжений несоответствия.

### 1. Инжекция дислокаций несоответствия

Для выяснения возможности безактивационной инжекции ДН в границу раздела краем слоя найдем касательное напряжение, создаваемое слоем на бездислокационной границе раздела. Будем считать подложку и слой упругоизотропными, подложку достаточно толстой. В этом случае мы имеем задачу о деформации упругой полу平面ости  $S \equiv \{x_1 \geq 0\}$  (подложка) отрезком  $L \equiv \{x_1 = 0; |x_2| < a\}$  (слой), наклеенным на  $\Gamma \equiv \{x_1 = 0\}$  (поверхность подложки) в растянутом состоянии с постоянной вдоль  $L$  относительной деформацией  $\epsilon_*$  (рис. 1). Напряжения  $\sigma_{ij}$  в  $S$  можно записать в виде [6]

$$\sigma_{11} = -\frac{1}{2\pi} \int_{-\infty}^{+\infty} \xi^2 e^{-i\xi x_1} Q d\xi, \quad \sigma_{22} = \frac{1}{2\pi} \int_{-\infty}^{+\infty} e^{-i\xi x_1} \frac{\partial^2}{\partial x_1^2} Q d\xi,$$

$$\sigma_{12} = \frac{i}{2\pi} \int_{-\infty}^{+\infty} \xi e^{-ix_2} \frac{\partial}{\partial x_1} Q d\xi, \quad (1)$$

$Q$  — образ фурье-функции Эйри  $\Psi(x_1, x_2)$ , причем

$$Q = Q(x_1, \xi) = \{A(\xi) + x_1 B(\xi)\} \exp(-|\xi| x_1), \quad (2)$$

где  $A(\xi)$  и  $B(\xi)$  определяются условиями на  $\Gamma$ .

Приложим к свободной границе  $\Gamma$  в точке  $x_2 = x'$  в направлении  $x_2$  единичную касательную нагрузку  $\tau^0(x_2) = \delta(x_2 - x')$  и найдем с помощью (1) и (2)  $\sigma_{22}(0, x_2)$ ,  $\varepsilon_{22}(0, x_2) = \sigma_{22}(0, x_2)/E_S$  ( $E_{S(L)}$  — модуль Юнга подложки (слоя)) и функцию Грина смещения точек  $x_2 = x$  на  $\Gamma$  вдоль  $x_2$

$$u^0(x, x') = u^0(0, x') + \int_0^x \varepsilon_{22}(0, x_2) dx_2 = u^0(0, x') - \frac{2}{\pi E_S} V.p. \int_0^x \frac{dx_2}{x_2 - x'}, \quad (3)$$

где  $V.p.$  — главное значение интеграла в смысле Коши.

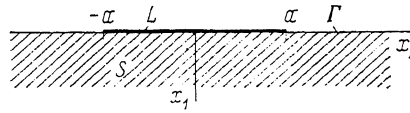


Рис. 1.

В состоянии равновесия после упругой релаксации напряжений в системе  $L \cup S$  деформация отрезка  $L$  равна  $\varepsilon_* + \varepsilon(x)$ , где  $\varepsilon(x) \equiv du/dx$ ,  $u = u(x)$  — смещение точки  $x_2 = x$  на  $\Gamma$ . Со стороны  $L$  на  $\Gamma$  действует касательное напряжение

$$\tau(x) = w E_L \frac{d}{dx} \varepsilon(x), \quad |x| < a. \quad (4)$$

С другой стороны, согласно (3),

$$\varepsilon(x) = \frac{2}{\pi E_S} V.p. \int_{-a}^a \frac{\tau(x')}{x' - x} dx', \quad -\infty < x < \infty. \quad (5)$$

Подставляя (4) в (5), получим

$$\varepsilon(x) = \frac{2}{\pi} \beta V.p. \int_{-1}^1 \frac{1}{(\zeta - x)} \frac{d}{d\zeta} \varepsilon(\zeta) d\zeta, \quad -\infty < x < \infty, \quad (6)$$

где  $x \equiv x/a$ ,  $\zeta \equiv x'/a$ ,  $\beta = kw/a$ ,  $k = E_L/E_S$ .

Уравнение (6) необходимо дополнить граничными условиями  $\varepsilon(x = \pm 1) = -\varepsilon_*$  (боковые грани слоя свободны). Тогда оно будет иметь единственное решение, которое нетрудно получить методом Винера—Хопфа [7],

$$\varepsilon(x) = -\varepsilon_* \frac{1}{\pi} \left\{ f\left(\frac{1-x}{2\beta}\right) + f\left(\frac{1+x}{2\beta}\right) \right\}, \quad -\infty < x < \infty, \quad (7)$$

откуда с учетом (4)

$$\tau(x) = -\varepsilon_* \frac{E_S}{\pi} \left\{ g\left(\frac{a-x}{2kw}\right) - g\left(\frac{a+x}{2kw}\right) \right\}, \quad |x| < a. \quad (8)$$

Здесь  $f(\xi)$  и  $g(\xi)$  — известные [8] специальные функции

$$f(\xi) \equiv \int_0^\infty \frac{\sin q}{q + \xi} dq, \quad g(\xi) \equiv \int_0^\infty \frac{\cos q}{q + \xi} dq. \quad (9)$$

При инжекции левым (для определенности) краем слоя одной ДН в бездислокационную границу раздела на расстояние  $l$  от края энергия системы изменяется на величину

$$\delta W(l) = -\frac{b}{2} \int_0^l \{\tau(l') + \tau_\perp(l' - l)\} dl', \quad (10)$$

где  $l' \equiv x+a$ ;  $\tau_\perp(r)$  — касательное напряжение, создаваемое ДН на границе раздела ( $r=0$  — координата ДН);  $b$  — модуль вектора Бюргерса ДН.

Для безактивационной инжекции необходимо, чтобы  $\delta W(l) < 0$  для всех  $l \leq w$  или с учетом (8) чтобы

$$\varepsilon_0 > \frac{1}{8(1+\nu)} \frac{b}{\zeta} \max_q \psi(q), \quad \psi(q) \equiv \frac{1}{q} \frac{\ln(1+q^2)}{(c - \ln q)}, \quad (11)$$

где  $\varepsilon_0 = (b_L - b_S)/b_S$  — относительное несоответствие решеток,  $\nu$  — коэффициент Пуассона,  $\zeta = d/2(1-\nu)$ ,  $d$  — расстояние между соседними плоскостями скольжения,  $c = 1 - \gamma + \ln(2w/\zeta)$ ,  $\gamma \approx 0.5772$  — постоянная Эйлера,  $q \equiv l/\zeta$ .

При выводе (11) принималось  $E_L \approx E_S$ ,  $v_L \approx v_S \approx \nu$ ,  $d_L \approx d_S \approx d$  и учтено, что  $g(\xi) \approx \xi^{-2}$  при  $\xi \geq O(1)$ ,  $g(\xi) \approx -(\ln \xi + \gamma)$  при  $\xi \leq 1$ ,  $\varepsilon_* = \varepsilon_0/(1-\nu)$  из-за двусмысленности несоответствия,

$$\tau_\perp(r) = \frac{Gb}{2\pi(1-\nu)} \frac{r}{(r^2 + \zeta^2)}, \quad -\infty < r < \infty, \quad (12)$$

в дислокационной модели Пайерлса—Набарро [9] ( $G$  — модуль сдвига).

При  $c \geq 4$   $\psi(q)$  имеет максимум при  $q = q_m$ ,  $2.0 \leq q_m \leq 5.4$ ,

$$q_m \approx 0.8 \exp \left\{ \frac{c}{2} \left( 1 - \left[ 1 - \frac{4}{c} \right]^{1/2} \right) \right\}. \quad (13)$$

При  $c \leq 4$   $\psi(q)$  монотонно возрастает и по смыслу условия (11) здесь следует брать  $q_m \approx w/\zeta$ .

Подчеркнем, что условие безактивационной инжекции (11) является необходимым. Невыполнение его означает, что при достаточно низких температурах ДН либо не образуется совсем, либо, образовавшись, удерживается у края силами изображения. Это обстоятельство полезно учитывать при технологических операциях с метастабильными напряженными слоями. В дальнейшем, однако, мы ограничимся рассмотрением технологически неблагоприятного случая, когда инжекция не лимитирует пластическую релаксацию системы.

## 2. Частичная пластическая релаксация при наличии стартового напряжения

Для релаксации напряжений в слое дислокации должны равномерно распределиться по границе раздела. Для этого им нужно пройти определенный путь от края к центру слоя. Из-за короткодействия напряжений (8) первая из ДН, однако, вскоре после инжекции практически остановится невдалеке от края. Дальнейшее ее продвижение к центру возможно лишь при помощи второй дислокации, которая в свою очередь «нуждается» в помощи третьей, и т. д. С увеличением порядкового номера инжектированной дислокации равномерно растет и мощность плоского скопления, которое ей «приходится» проталкивать к центру. Понятно, что на определенном шаге релаксационный процесс может быть прерван из-за запирания источника при наличии у дислокаций скопления некоторого стартового напряжения  $\tau_0$ . Последнее наблюдалось в ряде случаев при исследовании подвижности индивидуальных дислокаций в полупроводниках и может быть объяснено, согласно [10], взаимодействием дислокаций с точечными дефектами, например с остаточной или легирующей примесью. Это обстоятельство, как будет видно из дальнейшего, можно использовать для получения бездислокационной границы раздела.

Рассмотрим распределение ДН в скоплении с запертым источником. Для простоты будем считать дислокации чисто краевыми, а релаксацию одномерной.

Отдельная дислокация, достаточно удаленная от края, создает поле напряжений  $\sigma_{ij} = \sigma_{ij}^0 + \sigma_{ij}^*$ , где  $\sigma_{ij}^0$  — напряжения краевой дислокации в континууме,  $\sigma_{ij}^*$  — напряжения, возникающие в системе от действия на поверхность слоя фиктивных нормальной  $p^*$  и касательной  $\tau^*$  нагрузок (рис. 2)

$$p^* = -\sigma_{xy}^0(x, y)|_{y=w}, \quad \tau^* = -\sigma_{xy}^0(x, y)|_{y=w}. \quad (14)$$

Применяя для нахождения  $\sigma_{ij}^*$  описанный в разделе 1 способ, в приближении одинаковых упругих констант слоя и подложки найдем  $\sigma_n \equiv \sigma_{xy}(x, 0)$  и  $\sigma_n \equiv \sigma_{xx}(0, y)$

$$\sigma(x) = 16 \frac{A}{w} \frac{(\tilde{x}^1 + \tilde{x}^2 + 4)}{\tilde{x}(\tilde{x}^2 + 4)^3}, \quad \tilde{x} \equiv \frac{x}{w}; \quad \sigma_n(y) = -8 \frac{A}{w} \frac{(1 - \tilde{y})}{\tilde{y}(2 - \tilde{y})^3}, \quad \tilde{y} \equiv \frac{y}{w}, \quad (15)$$

где  $A = Gb/2\pi(1-\nu)$ .

Отсюда найдем энергию ДН в ненапряженной системе

$$W_\perp = \frac{b}{2} \int_{r_0}^w |\sigma_n| dy = \frac{bA}{2} \left\{ -\ln \eta - \frac{1}{2} - \eta \frac{1 - (5/2)\eta + \eta^2}{1 - \eta} \right\} \approx \frac{bA}{2} \ln \left( \frac{2}{\sqrt{e}} \frac{w}{r_0} \right), \quad (16)$$

где  $\eta = r_0/2w$ ,  $r_0$  — радиус обрезания на ядре дислокации.

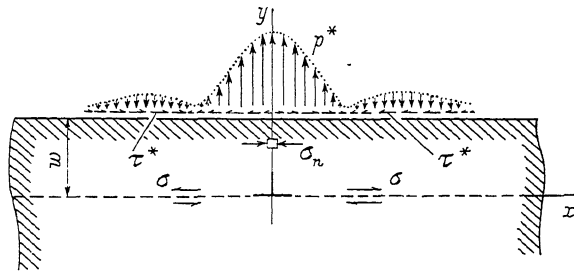


Рис. 2.

В состоянии метастабильного равновесия распределение ДН  $\rho(x)$  описывается в континуальном приближении (условия применимости которого будут выяснены в дальнейшем) почти всюду на границе раздела уравнением

$$V.p. \int_{-\alpha}^{\alpha} \sigma(x-x') \rho(x') dx' = -\tau_0 \operatorname{sign}(x) I\{\rho(x) \neq 0\}, \quad (17)$$

где  $I\{\dots\}$  — индикатор условия  $\{\dots\}$ .

Из (15) видно, что  $\sigma(x-x')$  быстро убывает при  $|x-x'| \geq 3w$ . Это позволяет, если  $\rho(x)$  изменяется не слишком резко, привести (17) к виду

$$\frac{d}{dx} \rho(x) \approx \alpha \operatorname{sign}(x) I\{\rho(x) \neq 0\}, \quad \alpha = \frac{\tau_0}{4\pi Aw}, \quad (18)$$

разложив  $\rho(x')$  по степеням  $(x'-x)$ . Уравнение (18) может иметь одно из двух линейных решений (рис. 3). Ширина области, не занятой скоплением  $2l$ , либо плотность скопления на середине границы раздела  $\rho_0$  определяется условием запирания источника

$$\delta W_\Sigma + \delta \mathcal{A} = 0. \quad (19)$$

Здесь  $\delta W_\Sigma$  — изменение энергии всей системы (включая ДН) при изменении  $l$  на  $\delta l < 0$  либо  $\rho_0$  на  $\delta \rho_0 > 0$ ,  $\delta \mathcal{A}$  — совершаемая при этом работа против трения  $\tau_f = \tau_0$

$$\delta \mathcal{A} = \int \tau_0 b |u(x)| \rho(x) dx = \begin{cases} \tau_0 b \alpha (a - l)^2 \delta l, & \rho_0 = 0, \\ \tau_0 b a^2 \delta \rho_0, & \rho_0 \neq 0, \end{cases} \quad (20)$$

где  $\Omega \equiv \{l < |x| < a\}$  при  $\rho_0 = 0$  и  $\Omega \equiv \{|x| < a\}$  при  $\rho_0 \neq 0$ ;  $u(x)$  — смещение ДН с координатой  $x$ , отвечающее приращениям  $\delta l$  либо  $\delta \rho_0$ ,

$$u(x) \equiv -\delta l, \rho_0 = 0; u(x) = -\frac{x}{\rho(x)} \delta \rho_0, \rho_0 \neq 0. \quad (21)$$

Далее имеем

$$W_s = W_L + W_S + \int_{\Omega} \left\{ W_{\perp}(x) + W_{\perp L}(x) + \frac{1}{2} W_{\perp \perp}(x) \right\} \rho(x) dx. \quad (22)$$

Здесь  $W_L, W_S$  — энергия напряженных слоя и подложки соответственно (без учета ДН).  $W_{\perp}$  определена в (16);  $W_{\perp L}, W_{\perp \perp}$  — энергия взаимодействия напряжений дислокации и слоя, дислокаций и скопления ДН соответственно.

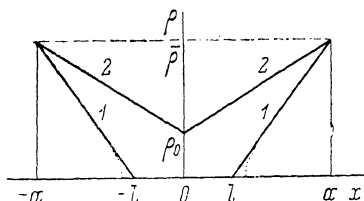


Рис. 3. Метастабильное распределение ДН при  $\tau_0 \neq 0$ .  
1 — при большом  $\tau_0$  или небольшом  $w$ ; 2 — при небольшом  $\tau_0$  или большом  $w$ ; пунктир — строгое решение, отвечающее дискретному описанию головы скопления ДН.

Пренебрегая малой поправкой к  $W_s$ , связанной с неоднородностью напряженного состояния слоя на краях, и учитывая, что  $\delta W_L = \delta W_S = 0$ , получим из (19)

$$(W_{\perp} + W_{\perp L}) \delta \int_{\Omega} \rho(x) dx + \frac{1}{2} \delta \int_{\Omega} W_{\perp \perp}(x) \rho(x) dx + \delta \mathcal{A} = 0, \quad (23)$$

где

$$W_{\perp L} = -E_L \varepsilon_* b w, \quad W_{\perp \perp}(x)|_{x=x_n} \approx \sum_{n' \neq n}^{\infty \cdot \operatorname{sign}(x_{n'} - x)} \int_{x_{n'}}^{\infty} \sigma(x' - x_n) b dx', \quad (24)$$

$x_n$  — координата  $n$ -й дислокации.

Выполнив суммирование в (24), получим с учетом (16), (20), (23), (24) условие запирания источника ДН в окончательном виде

$$\begin{aligned} -\Phi(w) \left\{ \frac{\partial / \partial l}{\partial / \partial \rho_0} \right\} \int_{\Omega} \rho dx + \frac{1}{2} \left\{ \frac{\partial / \partial l}{\partial / \partial \rho_0} \right\} \int_{\Omega} \varphi \rho dx &= \begin{cases} (\tau_0/A) \alpha (a - l)^2 \rho_0 = 0, \\ -(\tau_0/A) \alpha^2, \end{cases} \quad \rho_0 \neq 0, \\ \Phi(w) &\equiv 4\pi(1+\nu) \varepsilon_0 w / b - \frac{1}{2} \ln \left( \frac{2}{\sqrt{e}} \frac{w}{r_0} \right), \\ \varphi &\equiv \lambda - \ln \lambda - (1 + \lambda^2 e^{\omega})/2, \quad \lambda \equiv w/(e^{\omega} - 1), \quad \omega = \omega(x) \equiv 4\pi w \rho(x). \end{aligned} \quad (25)$$

При  $\tau_0 = 0$  (25) является уравнением относительно термодинамически равновесной плотности  $\bar{\rho}$  ДН. Можно выделить три области, в которых его решение имеет простой вид,

$$\bar{\rho} = \sqrt{\Phi(w)} / (2\pi w), \quad \bar{\rho} \ll 1/(2\pi w); \quad (26)$$

$$\bar{\rho} \approx \{\sqrt{\Phi(w) + 5/4} - 1\} / \pi w, \quad (4w)^{-1} \leq \bar{\rho} \leq (2w)^{-1}; \quad (27)$$

$$\bar{\rho} = (1 + \nu) b^{-1} \varepsilon_0 - (8\pi w)^{-1} \ln \left( \frac{2}{\sqrt{e}} \frac{w}{r_0} \right), \quad \bar{\rho} \gg (2w)^{-1}. \quad (28)$$

Первое из них при  $\bar{\rho} = 0$  ( $w = w_c$ ) переходит в условие появления ДН

$$\varepsilon_0 = \frac{1}{8\pi(1+\nu)} \frac{b}{w_c} \ln \left( \frac{2}{\sqrt{e}} \frac{w_c}{r_0} \right). \quad (29)$$

Из (26) и (29) видно, что  $\bar{\rho}(w)$  круто растет в окрестности  $w=w_c$ . Это означает, что в технологиях, не позволяющих предотвратить предельную пластическую релаксацию, ограничение  $w \leq w_c$  является весьма жестким.

Пусть теперь  $\tau_0 \neq 0$ . Из (15) и (29) следует, что для типичных  $\varepsilon_0 \leq 10^{-2}$  континуальное приближение (17) при  $w \geq O(w_c)$  будет несправедливо лишь вблизи головы скопления ДН, в области  $\Omega'$ , где  $\rho(x) w \leq 1/3$ . Здесь вместо (17) дискретный подход дает

$$\frac{d}{dx} \rho^2(x) = \theta \operatorname{sign}(x) I\{\rho(x) \neq 0\}, \quad \theta = \frac{\tau_0}{24 Q A w^2}, \quad Q \approx \sum_{j=1}^{\infty} \frac{1}{j^3} \approx 1.20. \quad (30)$$

При  $\rho_0=0$  (30) имеет решение (рис. 3, пунктир)

$$\rho(x) = [\rho^2(l) + \theta(|x| - l)]^{1/2}, \quad \rho(l) = (3\theta/2)^{1/2}, \quad x \in \Omega'. \quad (31)$$

В дальнейшем ограничимся рассмотрением случая достаточно толстых слоев, когда  $w\rho(x) \geq 1$  почти всюду в  $\Omega$  и приближение (17) оправдано. Здесь  $\omega \gg 1$ ,  $\varphi \approx \omega$  и (25) в технически интересном случае ( $\rho_0=0$ ) имеет решение

$$a - l = (A/\tau_0) \Phi(w). \quad (32)$$

Отсюда, в частности, следует, что на краях слоя происходит предельная релаксация напряжений. В этом легко убедиться, сравнив  $\rho(\pm a) = \alpha(a-l)$  с  $\bar{\rho}$  в (28).

### 3. Частичная пластическая релаксация при нулевом стартовом напряжении

В относительно чистых полупроводниках (например, в InSb [11]) стартовое напряжение не наблюдается (в лабораторном диапазоне напряжений). Это означает, что оно мало ( $\leq 0.5$  МПа) либо равно нулю. Поэтому рассмотрение релаксационного процесса с  $\tau_0=0$  также представляет интерес.

Распределение ДН при  $\tau_0=0$  описывается уравнением непрерывности

$$\frac{\partial}{\partial t} \rho = -\frac{\partial}{\partial x} (v\rho), \quad (33)$$

где  $v(x, t)$  — скорость ДН, зависящая от напряжения  $\sigma_\perp$ , действующего на нее со стороны скопления (раздел 2),

$$\sigma_\perp(x, t) = \int_{-a}^a \sigma(x-x') \rho(x', t) dx' \approx -4\pi Aw \frac{\partial}{\partial x} \rho(x, t). \quad (34)$$

Воспользуемся эмпирической зависимостью  $v$  от  $\sigma_\perp$  [12]

$$v/v_0 = (\sigma_\perp/\sigma_0)^m, \quad (35)$$

$m, v_0, \sigma_0$  — параметры, характеризующие подвижность индивидуальной дислокации на границе раздела при данной температуре.

Начальное условие для (33)  $\rho(x, 0)=0$ , граничное определено в разделе 2:  $\rho(\pm a)=\bar{\rho}$ . В безразмерной форме релаксационная задача с учетом (35) и (34) имеет вид

$$\frac{\partial}{\partial t} \tilde{\rho} = -\frac{\partial}{\partial \tilde{x}} \left[ \left( -\frac{\partial}{\partial \tilde{x}} \tilde{\rho} \right)^m \tilde{\rho} \right], \quad (36)$$

$$\tilde{\rho}(\tilde{x}, 0) = 0, \quad \tilde{\rho}(\pm \tilde{a}, t) = \tilde{\rho}, \quad (37)$$

где  $\tilde{\rho} = \rho/b^{-1}$ ,  $\tilde{x} = x/w$ ,  $\tilde{a} = a/w$ ,  $\tilde{t} = t/t_1$ ,  $t_1 = w/(nv_0)$ ,  $n = (2G/(1-v)\sigma_0)^{1/m}$ .

Поскольку  $t$  может принимать различные значения ( $0.7 \leq m \leq 1.5$  [10]), то аналитическое решение задачи (36), (37) представляется затруднительным. Это обстоятельство, однако, не исключает возможности аналитического определения из (36) мажоранты для такой технологически важной характеристики

как глубина проникновения в границу раздела скопления ДН в зависимости от времени.

Действительно, (36) имеет (слева на границе раздела) частное решение

$$\tilde{\rho}(\tilde{x}, \tilde{t}) = \alpha(\tilde{t}) - \beta(\tilde{t}) \xi^{1/(m+1)}, \quad (38)$$

где  $\xi \equiv \tilde{x} + \tilde{a}$ ,  $\alpha(\tilde{t}) = \alpha_0 \tilde{t}^{-1/(2m+1)}$ ,  $\beta(\tilde{t}) = \beta_0 \tilde{t}^{-1/m}$ ,  $\beta_0 = m/[(m+1)(2m+1)^{1/m}]$ ,  $\alpha_0$  — произвольная пока константа.

Движение фронта скопления  $\xi = \tilde{X}$  описывается уравнением  $\tilde{\rho}(\tilde{a} + \tilde{X}(\tilde{t}), \tilde{t}) = 0$ , откуда

$$\tilde{X}(\tilde{t}) = \alpha_1 \tilde{t}^{1/(2m+1)}, \quad \alpha_1 = (\alpha_0 / \beta_0)^{m/(m+1)}. \quad (39)$$

Для того чтобы  $\tilde{X}_w$  в некоторый произвольный момент  $\tilde{t} = \tilde{t}_*$  было больше ширины реального скопления, следует выбрать  $\alpha_0$  так, чтобы  $\alpha(\tilde{t}_*) = \tilde{\rho}$ . Тогда (38) будет описывать распределение, создаваемое источником с  $\tilde{\rho}(-\tilde{a}, \tilde{t}) = \alpha(\tilde{t})$ , более мощным при  $0 < \tilde{t} < \tilde{t}_*$ , чем реальный источник ДН. Таким образом, функция

$$\tilde{X}(\tilde{t}) \equiv w \tilde{X}(\tilde{t}) = w (\tilde{\rho} / \beta_0)^{m/(m+1)} \tilde{t}^{1/(m+1)} \quad (40)$$

при всех  $\tilde{t} > 0$  больше ширины реального скопления (слева или справа на границе раздела).

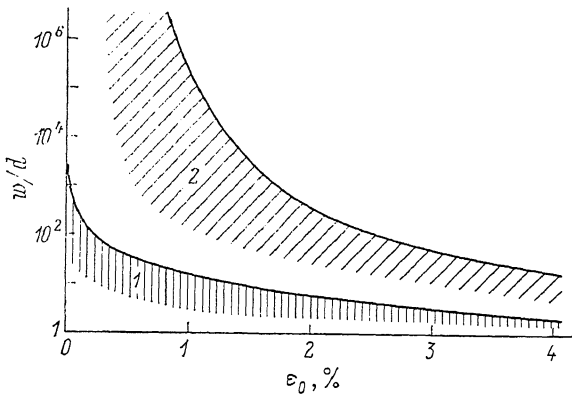


Рис. 4. Области стабильности (1) и метастабильности (2) бездислокационной напряженной гетероэпитаксиальной системы.

Рис. 5. Зависимость ширины метастабильного скопления ДН от относительной толщины слоя (например,  $\text{GaAs}_{1-y}\text{Sb}_y$ ) на подложке GaAs.

$\tau_0$ , МПа: 1—3 — 0.5, 1'—3' — 2.5; 1' —  $\varepsilon_0=0.2\%$ ,  $w_c=122.5d$ ; 2' —  $\varepsilon_0=1\%$ ,  $w_c=16.6d$ ; 3' —  $\varepsilon_0=2\%$ ,  $w_c=6.4d$ .

#### 4. Количественные оценки

1. Для характерных в полупроводниках значений  $\gamma_0=0.3$ ,  $r_0=b/4$  [9],  $d=(\sqrt{3}/6)b$  (алмазоподобная решетка) найдем из (11) и (29) соответственно область метастабильности (где безактивационная инжеция ДН невозможна) и стабильности бездислокационных систем (рис. 4). Как видно из рисунка, в широком диапазоне значений  $\varepsilon_0$  толщина метастабильного слоя может превышать  $w_c$  на порядок и более. Заметим, что из-за принятых в работе приближений ((8) и (12)) полученный результат следует рассматривать скорее как качественный.

2. Зависимость ширины метастабильного скопления ДН в частично релаксированной системе от относительной толщины слоя (32) при  $\tau_0=0.5$  и 2.5 МПа

<sup>1</sup> Такие  $\tau_0$  наблюдались [13] соответственно в нелегированных монокристаллах GaAs  $n$ -типа ( $n_{77\text{ K}} \sim 10^{16} \text{ см}^{-3}$ ) и легированных Zn ( $\sim 5 \cdot 10^{19} \text{ см}^{-3}$ ) при 200—500 °C. Диапазон 450—610 °C используется при молекулярно-лучевой эпитаксии (МЛЭ)  $\text{Al}_x\text{Ga}_{1-x}\text{As}$  [5].

и различных  $\epsilon_0$  показана на рис. 5. В расчетах использовались следующие постоянные GaAs при  $T=300$  К:  $b=0.40$  нм,  $G=4.9 \cdot 10^{10}$  Па,  $\nu=0.23$  (усреднение Фогта). Как видно, наличие обычных стартовых напряжений позволяет получить бездислокационную границу раздела приемлемых размеров ( $\sim 1$  см) на подложке диаметром несколько сантиметров даже при  $w \sim 10^3 w_c$ . К сожалению, из-за отсутствия каких-либо данных о температурной зависимости  $\tau_0$  остается неясным, существуют ли температурные ограничения при использовании эффекта стартового напряжения.

3. Найдем зависимость от времени ширины скопления на примере системы  $\text{InSb}_{0.9}\text{As}_{0.1}/\text{InSb}$ ,<sup>2</sup> где предположительно  $\tau_0=0$ . Здесь слой  $\text{InSbAs}$  натянут

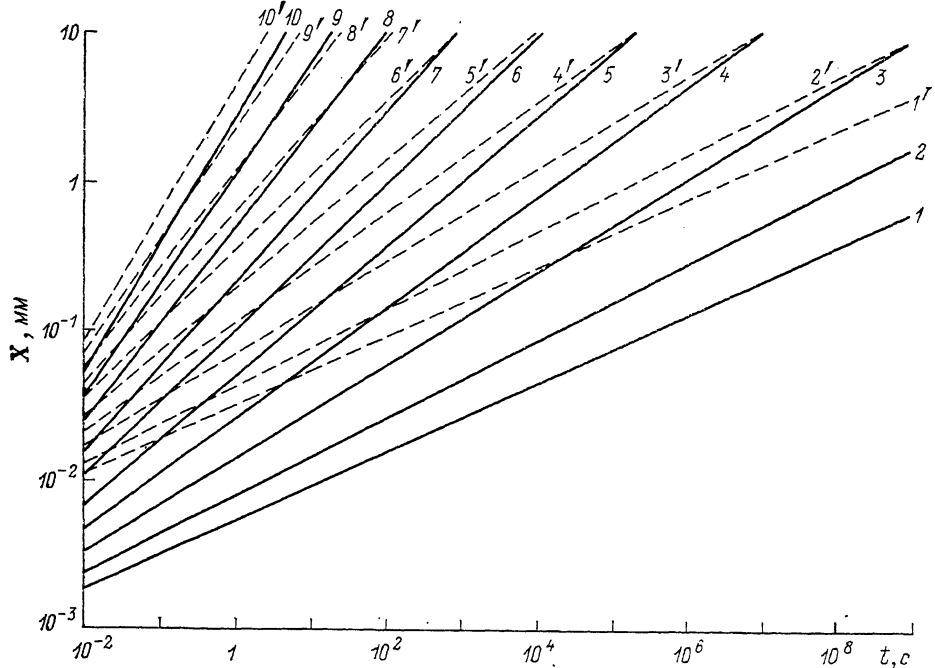


Рис. 6. Зависимость ширины скопления ДН от времени в системе  $\text{InSb}_{0.9}\text{As}_{0.1}/\text{InSb}$ .

$w$ , мкм: 1—10 — 2, 1'—10' — 20; 1'—20, 2' — 50, 3' — 100, 4' — 150, 5' — 200, 6' — 250, 7' — 300, 8' — 350, 9' — 400, 10' — 450.

на подложку  $\text{InSb}$ ,  $\epsilon_0 \approx 6.5 \cdot 10^{-3}$ ,  $w_c \approx 10$  нм. Зависимость от температуры параметра  $m$  в (40) определим по данным о подвижности  $\alpha$ -дислокаций<sup>3</sup> в  $\text{InSb}$  [11]. В лабораторном диапазоне температур (348—498 К) она приближенно описывается формулой

$$m(T) \approx (T^{-1} - T_{\text{пл}}^{-1}) m_0, \quad m_0 \approx 1.6 \cdot 10^3 \text{ К}, \quad T_{\text{пл}} = 803 \text{ К}, \quad (41)$$

где  $T_{\text{пл}}$  — температура плавления  $\text{InSb}$ .

Значения постоянных в  $\text{InSb}$  при  $T=300$  К такие:  $b=0.46$  нм,  $G=2.5 \times 10^{10}$  Па,  $\nu \approx 0.28$ . С помощью (28) и (40) найдем зависимость от времени ширины (оценка сверху) скопления для ряда значений  $T$  и  $w$  (рис. 6). Видно, в частности, что при стандартной технологии МЛЭ  $\text{InSbAs}$  (температура подложки 300—400 °C, скорость роста слоя  $\sim 1$  нм/с [16]) можно получать в середине системы бездислокационную границу раздела, пока  $w \leqslant 1-2$  мкм. В то же время, если каким-либо способом удалось бы создать напряженную систему с  $w \sim 0$  (10 мкм), при обычных температурных условиях хранения и эксплуатации такой структуры дрейф скопления к центру системы занял бы несколько десятков лет.

<sup>2</sup> Напряжения несоответствия используются здесь для сужения зоны запрещенных энергий в слое [14, 15].

<sup>3</sup> Именно  $\alpha$ -, а не  $\beta$ -, поскольку слой растянут и наращивается в рассматриваемом случае в направлении [111] на Sb поверхности подложки.

## Заключение

Проведенное рассмотрение показывает, что в полупроводниковых напряженных гетероэпитаксиальных системах можно достичь значительного превышения толщиной слоя своего критического значения, не выходя за рамки режимов, применяемых в существующих технологиях. При выращивании слоя этому способствуют два фактора: стартовое напряжение и (или) низкая подвижность дислокаций в полупроводниках. При изготовлении мезоструктуры дополнительным фактором, сдерживающим низкотемпературную пластическую релаксацию приповерхностной области слоя, будут силы изображения, удерживающие ДН вблизи вытравливаемых в слое канавок. Рассмотренная ориентация границы раздела (типа (111)), возможно, не самая благоприятная для целей создания метастабильных структур. В то же время из всех возможных ориентаций с малыми индексами только она теоретически исключает возможность образования (при инжекции ДН) у края слоя в плоскости границы раздела трещины, роста последней вдоль границы раздела и «отслаивания» слоя от подложки.

Автор благодарит В. В. Осипова и Л. Н. Неустроева за постановку задачи и многочисленные полезные обсуждения рассмотренных в работе вопросов, а также М. С. Никитина, заинтересовавшегося возможностью практического использования результатов работы.

## Список литературы

- [1] Тхорик Ю. А., Хазан Л. С. Пластическая деформация и дислокации несоответствия в гетероэпитаксиальных системах. Киев: Наукова думка, 1983. 304 с.
- [2] Tsao J. Y., Dodson B. W. // Appl. Phys. Lett. 1988. Vol. 53. N 10. P. 848–850.
- [3] Mathews J. W., Mader S., Lucht T. B. // J. Appl. Phys. 1970. Vol. 41. N 9. P. 3800–3804.
- [4] Mattheus J. W. // J. Vac. Sci. Technol. 1975. Vol. 12. N 1. P. 126–133.
- [5] Херман М. Полупроводниковые сверхрешетки. М.: Мир, 1989. 240 с.
- [6] Амензаде Ю. А. Теория упругости. М.: Высшая школа, 1976. 272 с.
- [7] Севеников А. Г., Тихонов А. Н. Теория функций комплексной переменной. М.: Наука, 1979. 320 с.
- [8] Справочник по специальным функциям. М.: Наука, 1979. 832 с.
- [9] Хирт Дж., Лоте И. Теория дислокаций. М.: Атомиздат, 1972. 600 с.
- [10] Никитенко В. И. // Динамика дислокаций. Киев: Наукова думка, 1975. С. 7–26.
- [11] Осипян Ю. А., Ерофеева С. А. // ФТГ. 1969. Т. 11. Вып. 4. С. 944–950.
- [12] Мильвидский М. Г., Освенский В. Б. Структурные дефекты в монокристаллах полупроводников. М.: Металлургия, 1984. 256 с.
- [13] Освенский В. Б., Холодный Л. П., Мильвидский М. Г. // Динамика дислокаций. Киев: Наукова думка, 1975. С. 36–42.
- [14] Osbourn G. C. // J. Vac. Sci. Technol. (B). 1984. Vol. 2. N 2. P. 176–178.
- [15] Kurtz S. R., Biefeld R. M., Dawson L. R. et al. // Appl. Phys. Lett. 1988. Vol. 53. N 20. P. 1961–1962.
- [16] Lee G. S., Lo Y., Lin Y. F. et al. // Appl. Phys. Lett. 1985. Vol. 47. N 11. P. 1219–1221.

Поступило в Редакцию  
23 мая 1990 г.  
В окончательной редакции  
15 октября 1990 г.